



前列腺药理学

PROSTATE PHARMACOLOGY

主 编

孙祖越 李元春

副主编

刘向云 吴建辉 周 莉

上海科学技术出版社

前列腺药理学

主 编 孙祖越 李元春

副主编 刘向云 吴建辉 周 莉

上海科学技术出版社

图书在版编目(CIP)数据

前列腺药理学/孙祖越,李元春主编. —上海:
上海科学技术出版社,2013.8

ISBN 978 - 7 - 5478 - 1790 - 2

I . ①前… II . ①孙…②李… III . ①前列腺疾病—
药理学 IV . ①R983

中国版本图书馆 CIP 数据核字(2013)第 108778 号

本书出版由上海科技专著出版资金资助

上海世纪出版股份有限公司
上 海 科 学 技 术 出 版 社 出 版、发 行
(上海钦州南路 71 号 邮政编码 200235)

新华书店上海发行所经销
上海书刊印刷有限公司印刷
开本 787 × 1092 1/16 印张:21.5 插页: 4
字数:450 千字
2013 年 8 月第 1 版 2013 年 8 月第 1 次印刷
ISBN 978 - 7 - 5478 - 1790 - 2/R · 589
定价:148.00 元

本书如有缺页、错装或坏损等严重质量问题,
请向工厂联系调换

内容提要

本书包括前列腺器官学基础知识、前列腺炎基础与药理学、前列腺增生基础与药理学和前列腺癌基础与药理学四大部分。上述每种疾病的基础与药理学部分基本上都简述了其流行病学、病因学、诊断学、病理学和治疗学等内容，并侧重对这些疾病非临床药理学研究中实验方案的制定、实验过程的实施和总结报告的撰写，以求增加本书对前列腺疾病非临床药理学研究的指导性及可操作性。本书图文并茂，将动物前列腺特点和人类进行比较研究，采用实拍照片和手工描绘等方法，全面阐述前列腺疾病的发病及药理学研究特点。

本书适用于从事前列腺疾病教学、研究、预防和治疗工作的专业人员，特别是药物研发者。

本书的出版获上海科技专著出版资金资助，且荣获国家重大新药创制科技重大专项“十二五”计划(2011ZX09301 - 005)基金资助。

编写人员

主编 孙祖越 李元春

副主编 刘向云 吴建辉 周 莉

编 委(以姓氏拼音为序)

陈 颖 程 煒 储剑虹 管 隽 贾玉玲 李冬梅 李志玲 骆永伟

孟 祥 邵 悅 苏 欣 孙 弘 王 永 许 丽 闫 焱 严建燕

张 婷 钟恩宏 朱圣生

校 正(以姓氏拼音为序)

崇立明 姜 娟 李 雷 王 华

绘 图 徐斯翀

前　　言

从事前列腺疾病药理学研究近 20 年,有些体会,有感而发。首先是感谢当年恩师屠曾宏教授的指引,让我有了开头,随后在这一行业中默默耕耘这么多年,享受到了从事科研工作的乐趣。其次是感谢我们科研团队的所有成员,特别是吴建辉、刘向云和周莉这三位博士,他们日日夜夜的辛劳促成了我著书立说的念头。另外,我们也殷切希望能将这 20 年来的工作成效加以提炼、总结和发表,与同行交流并共同提高,实现服务社会的宗旨。

本书包括前列腺器官学基础知识、前列腺炎基础与药理学、前列腺增生基础与药理学和前列腺癌基础与药理学四大部分。上述每种疾病的基础与药理学部分基本上都是从其流行病学、病因学、诊断学、病理学和治疗学等几方面进行论述,同时,对于这些疾病非临床药理学研究中实验方案的制定、实验过程的实施和总结报告的撰写有所侧重,对此做了较为详细的描述,以求增强本书对前列腺疾病非临床药理学研究的指导性及可操作性。

本书适用于从事前列腺疾病教学、研究、预防和治疗工作的专业人员,特别是药物研发者。

本书中大量数据来自我们实验室自身的科研工作,属于原创性素材。正因如此,不免会有一些与同行数据不完全一致的现象;再者,由于我们的专业水平有限,难免会出现一些值得探讨的词句和论点,恳请读者指正!

孙祖越

2013 年 5 月 5 日

目 录

第一章 前列腺器官学基础知识	1
第一节 前列腺解剖学	1
第二节 前列腺组织学	10
第三节 前列腺胚胎学	19
第四节 前列腺影像学	22
第五节 前列腺生理学	29
第六节 前列腺生物化学	35
第二章 前列腺炎基础与药理学	43
第一节 前列腺炎概念及流行病学	43
第二节 前列腺炎病因学	54
第三节 前列腺炎诊断学	76
第四节 前列腺炎病理学	89
第五节 前列腺炎治疗学	104
第六节 前列腺炎药理学研究	139
前列腺炎药理学研究进展	139
前列腺炎药理学研究方案	144
前列腺炎药理学生物学模型的建立和研究报告举例	145
第三章 前列腺增生基础与药理学	162
第一节 前列腺增生概念及流行病学	162
第二节 前列腺增生病因学	168
第三节 前列腺增生诊断学	179
第四节 前列腺增生病理学	185
第五节 前列腺增生治疗学	191
第六节 前列腺增生药理学研究	213
前列腺增生药理学研究进展	213
前列腺增生药理学研究方案	214
前列腺增生药理学生物学模型的建立和研究报告举例	216
第四章 前列腺癌基础与药理学	240
第一节 前列腺癌概念及流行病学	240
第二节 前列腺癌病因学	248

第三节 前列腺癌诊断学	258
第四节 前列腺癌病理学	272
第五节 前列腺癌治疗学	279
第六节 前列腺癌药理学研究	303
前列腺癌药理学研究进展	303
前列腺癌药理学研究方案	309
前列腺癌药理学生物学模型的建立和研究报告举例	311
中英文缩写词语对照表	328

第一章

前列腺器官学基础知识

第一节 前列腺解剖学

前列腺是雄性生殖泌尿系统的附属性腺体,存在于所有雄性哺乳动物体内,环绕包围着膀胱颈与尿道连接处外周,只是人类与其他种类动物相比在结构和形态上有所不同而已。1912年,研究提出前列腺由五叶构成,包括两个侧叶、中叶、后叶和前叶,其中前叶在出生后即退化或消失,这种观点一直延续了50余年。直到20世纪60年代,McNeal(美国医生,1968)经过详细研究,将前列腺分为四个不同的区域,并基本上确定了各区在形态、功能及病理学上的意义,每一区域都与前列腺部尿道联系,从而来划分各个区的界限。这一研究受到解剖学和泌尿外科学界的广泛重视,并被普遍接受。

一、前列腺的形态、位置和毗邻

人前列腺的形状似一倒圆锥体形,位于膀胱颈和尿生殖膈之间,是一管腔状腺体,包绕尿道上端。色淡红而稍带灰白,可分为底、体和尖三部分,前、后及两侧面。生长发育正常的前列腺横径约4 cm,纵径约3 cm,前后径约2 cm,重18~20 g。其底部朝上,紧邻膀胱颈部,底部宽大,中央稍凹,前部有尿道穿入。尖部位于最下方,前列腺的尖部细小,与膜部尿道融合,止于尿生殖膈上筋膜的上面。尖、底两部分之间为前列腺体,尿道穿过前列腺实质,在尖部的前上方出来。前列腺前面较窄,呈凸形,邻耻骨后间隙,约在耻骨联合下缘后方2 cm处,它与耻骨后面之间有静脉丛和一些疏松结缔组织,前列腺前面下部由耻骨前列腺韧带与耻骨相连接,起固定作用。前列腺的后面横向平坦,纵向呈凸面,正中有一浅纵沟,称为前列腺中央沟;此沟将前列腺后面分为左右两部,肛门指诊隔着直肠前壁可触及前列腺的大小、硬度和表面形态。前列腺后面与直肠下段前壁相邻,其间隔以少量疏松结缔组织和直肠膀胱筋膜(Denon-villiers筋膜);前列腺后面的上部有左、右射精管穿过,分别开口于精阜附近。前列腺下外侧面较粗糙,被肛提肌的前列腺提肌覆盖,起支撑作用。

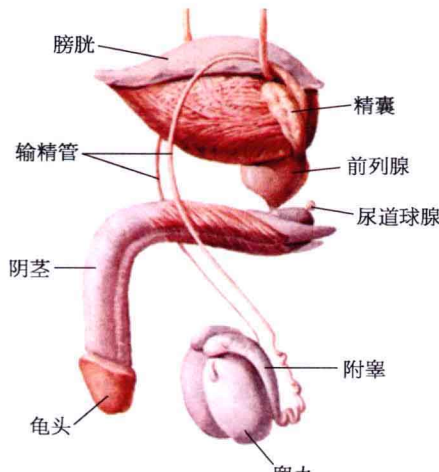
猴前列腺如栗子,底朝上,与膀胱相贴,尖朝下,抵泌尿生殖膈,前面贴耻骨联合,后面依直肠前壁,位置较深,打开腹腔不能直视。前列腺腺体的中间有尿道穿过,前列腺是少有的具有内、外双重分泌功能的性分泌腺。作为外分泌腺,前列腺分泌前列腺液,是构成精液主要成分;作为内分泌腺,前列腺分泌的激素称为“前列腺素”。老年猴前列腺可

变肥大,向上凸顶膀胱,使膀胱垂明显隆起,并压迫尿道引起排尿困难。

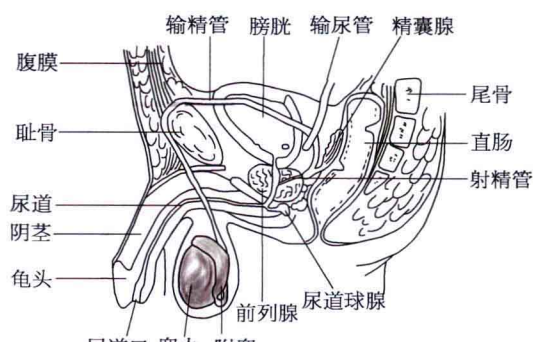
犬的前列腺是两裂片器官,左右对称环绕在膀胱颈和尿道起始部,包裹着尿道,位于耻骨联合,其尾部朝向膀胱。犬前列腺呈球状,比较大,呈黄色,组织坚实,有一正中沟将腺体分成两叶,输出管较多。年轻成年犬的前列腺常在盆腔内,老年犬向前移入腹腔。其位置随膀胱容积的大小而变,当膀胱收缩或空虚时,可向后移至耻骨前缘的后方2~3 cm处;当膀胱充盈时,腺体前移至耻骨前缘前方。犬前列腺大小根据年龄和体重的不同而有差别,性成熟前只有杏仁大小,性成熟期增至板栗大小,中年后迅速增大。5岁10 kg的犬,前列腺直径达2 cm左右。

大鼠前列腺位于膀胱出口处,为膀胱基部的几个肉色柔软的腺体。打开腹腔找到膀胱,可以清楚地看到前列腺。大鼠前列腺体积较大,分为腹侧叶和背侧叶,围绕膀胱基部。大鼠前列腺上方与精囊腺紧密相连。

上述几种前列腺形态和位置照片及示意图如图1-1所示。



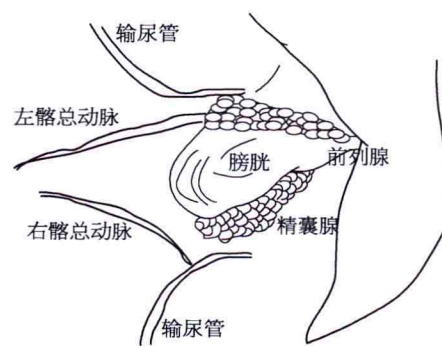
人前列腺形态和位置(侧面观)



人前列腺形态和位置(侧面观)示意图



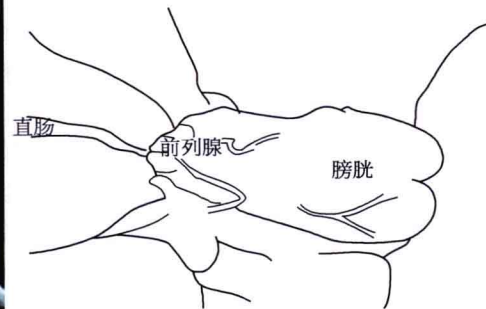
猴前列腺形态和位置(腹面观)



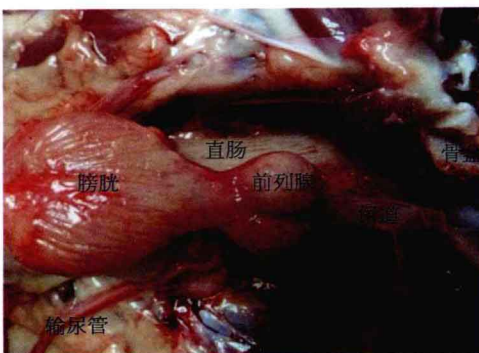
猴前列腺形态和位置(腹面观)示意图



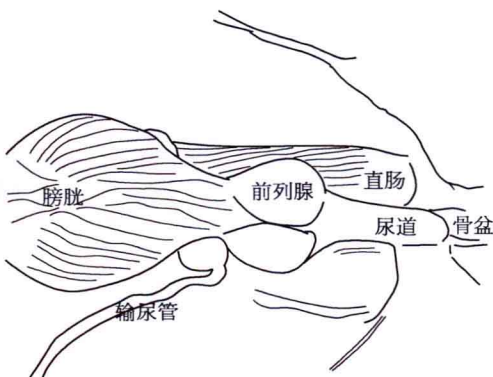
猴前列腺形态和位置(背面观)



猴前列腺形态和位置(背面观)示意图



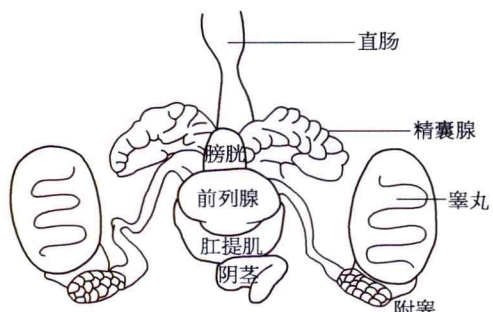
犬前列腺形态和位置(腹面观)



犬前列腺形态和位置(腹面观)示意图



大鼠前列腺形态和位置(腹面观)



大鼠前列腺形态和位置(腹面观)示意图

图 1-1 几种前列腺形态和位置照片及示意图

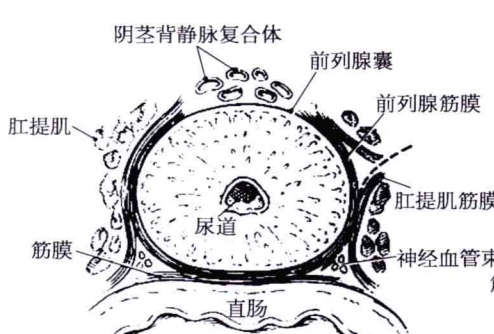
二、前列腺的包膜、筋膜和固定组织

几种前列腺的包膜和筋膜结构及位置关系基本雷同,其表面有一层薄而致密的前列腺包膜,称为“真被膜”,由平滑肌纤维和结缔组织构成。前列腺包膜是腺体本身的一部分,其下端与尿道周围的肌肉相连,上端包被前列腺腺体并由外向内蔓延弥散,散发出许

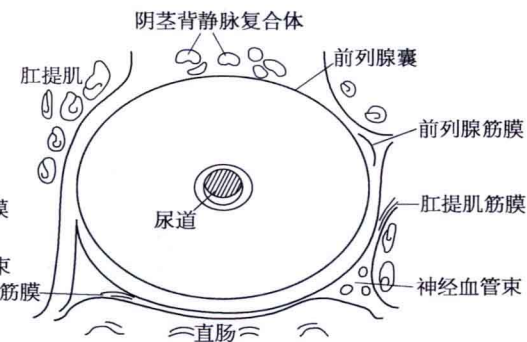
多树状分支，在腺体内部形成许多小隔，将整个腺体分割成若干小叶。

前列腺包膜的外面尚有一层筋膜包绕，称为前列腺鞘，又称为“假被膜”，由盆筋膜增厚的脏层构成。在前列腺的真假被膜之间有前列腺静脉丛、动脉和神经分支。静脉丛接受来自阴茎背深静脉的血液。

前列腺鞘在前面增厚形成耻骨前列腺韧带与耻骨联合筋膜相连接，对前列腺起固定作用。前列腺后面的筋膜与直肠膀胱筋膜相连接，两侧的筋膜与膀胱后韧带相连接。肛提肌的前部肌束由耻骨后附着于筋膜鞘的两侧，称为前列腺提肌，对前列腺亦起到固定作用。前列腺尖部的筋膜鞘与尿生殖膈上筋膜交织，将前列腺牢牢地固定在腹腔下部（图 1-2）。



人前列腺包膜矢状切面结构



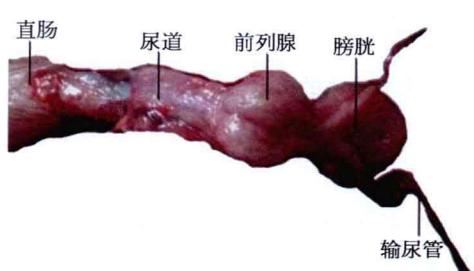
人前列腺包膜矢状切面结构示意图



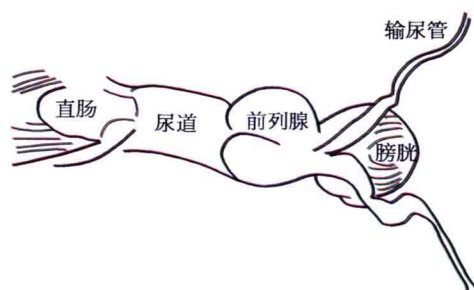
食蟹猴前列腺背面包膜



食蟹猴前列腺背面包膜示意图



犬前列腺背侧面包膜



犬前列腺背侧面包膜示意图

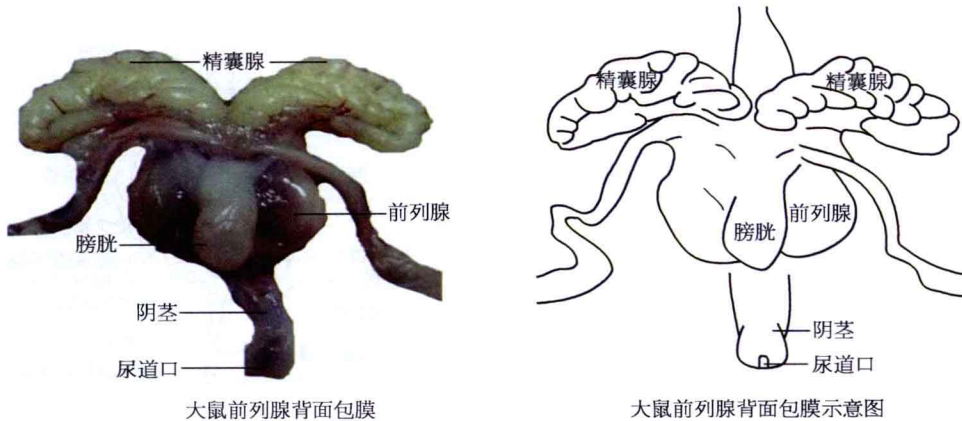


图 1-2 几种前列腺包膜和筋膜照片及示意图

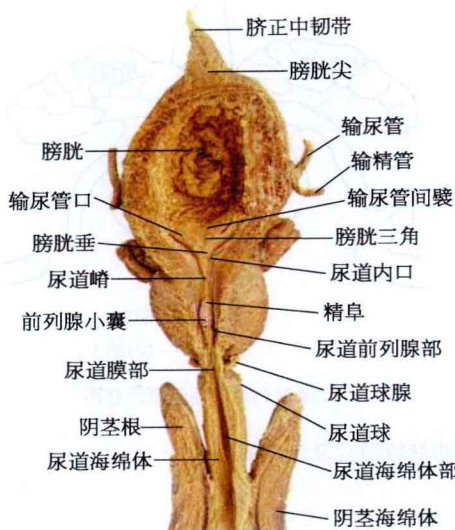
三、前列腺部尿道

前列腺包绕的这段尿道称为前列腺部尿道，是整个尿道组成的一部分，也是男性尿道最宽大和最扩张的部分。前列腺部尿道约3 cm长，从前列腺底到尖贯穿整个腺体。临幊上将前列腺部及膜部尿道称为后尿道。

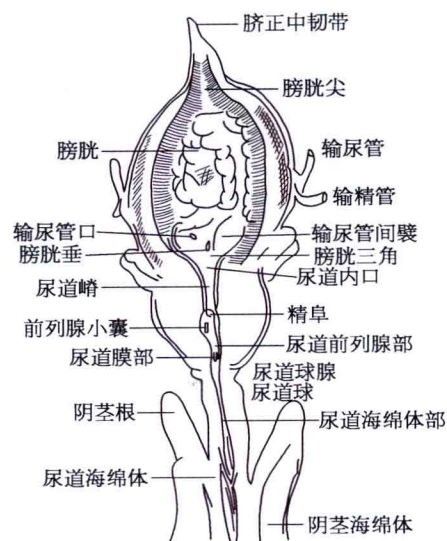
在前列腺部尿道的冠状切面上，其后壁正中线上有一纵长的隆起，称为尿道嵴。尿道嵴贯穿于整个前列腺部尿道，终止于外括约肌。尿道嵴两侧浅的凹陷为前列腺窦，窦的底部有前列腺导管的开口。尿道嵴中部的膨大处称为精阜，精阜的中央有一圆形或细长的纵裂状小孔，为前列腺囊的开口。前列腺囊由开口处向后上方伸入前列腺后方，深4~6 mm，为一盲端，它是副中肾管下部融合端的遗留物，在女性它形成子宫和阴道。射精管从前列腺后面进入前列腺，再偏前穿过前列腺实质，开口于前列腺囊开口的两侧。

精阜是腔内泌尿外科手术的一个重要标志，位于前列腺部尿道的中点。由精阜基底部向近侧，尿道的方向发生改变，后壁向前弯，形成一个35°的角，因此将此段尿道分为近侧和远侧两部分。近侧尿道由一圈平滑肌纤维围绕，形成前列腺前括约肌，具有射精时防止精液逆流的作用。它本身也具有静止期张力，使近侧尿道处于关闭状态，利于控制尿流的排放。前列腺前括约肌在尿道的后面排列紧密，但在腹侧是不完整的，没有形成完整的环，而是终止于前纤维肌肉基质的组织内。近侧尿道周围有散在的细小导管和未成熟的腺囊系统，形成尿道周围腺体。远侧尿道是前列腺腺体的主要分布区，也有括约肌成分，它们是纤细的横纹肌，组成外括约肌的近侧膨大部分。

前列腺部尿道管壁可分为黏膜层、黏膜下层和肌层。黏膜层上皮为移行上皮，与膀胱黏膜相同。在黏膜层的深面有固有膜，为疏松结缔组织，含有丰富的弹力纤维网和血管。黏膜下层与固有膜分界不清，为疏松结缔组织，含有散在的平滑肌细胞，多呈纵行排列。前列腺部尿道平滑肌分为内纵行肌层和外环行肌层，来自膀胱颈部的外环行肌层，围绕尿道向下延续，形成该部尿道的外环肌，该层的外侧部则与前列腺的纤维基质相融合。来自膀胱颈部的内纵行肌层向下延伸，形成尿道的内纵行肌层，此肌层一直延续到尿道膜部的大部分（图1-3）。



人前列腺部尿道结构



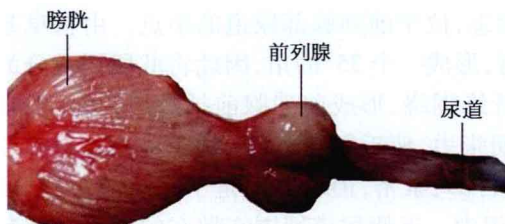
人前列腺部尿道结构示意图



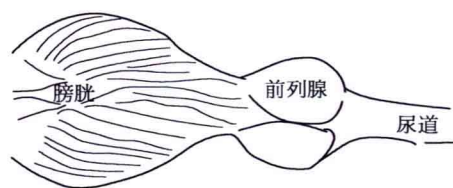
猴前列腺部尿道结构



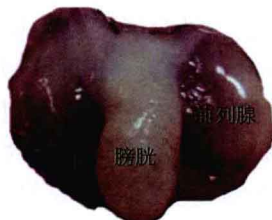
猴前列腺部尿道结构示意图



犬前列腺部尿道结构



犬前列腺部尿道结构示意图



大鼠前列腺部尿道结构



大鼠前列腺部尿道结构示意图

图 1-3 几种前列腺部尿道结构及示意图

四、前列腺的血管

(一) 动脉

前列腺的动脉来自膀胱下动脉、直肠下动脉及阴部内动脉等几条动脉。但主要血供来自膀胱下动脉的前列腺分支。膀胱下动脉是髂内动脉的分支，行走在膀胱的外侧面，经膀胱和前列腺交界处，分为前列腺包膜动脉和尿道前列腺动脉。前列腺包膜动脉经前列腺静脉丛，沿腺体后外侧面下行，发出分支供应前列腺包膜和腺体外侧部大部分；尿道前列腺动脉于膀胱前列腺结合部后外侧 5 点钟和 7 点钟处分别进入前列腺腺体，而后在靠近尿道的前列腺组织中向下走行，供应深部前列腺和尿道周围的腺组织，还发出分支供应膀胱颈部。

(二) 静脉

前列腺周围的静脉很丰富，起自阴茎背深静脉，位于前列腺的前面和两侧的固有膜（真被膜）与筋膜鞘（假被膜）之间，形成前列腺静脉丛（Santorini 丛），接受前列腺实质的静脉回流。也有人认为前列腺的静脉丛有部分可直接汇入膀胱静脉，经膀胱下静脉汇入髂内静脉或髂内静脉的其他属支，是前列腺静脉回流的补偿。前列腺静脉丛与会阴、下肢和脊椎的静脉回流有广泛的交通。前列腺静脉丛与椎内静脉及髂骨的静脉有交通支，这是前列腺癌在骨转移时首先表现为骶骨、腰椎和髂骨转移的原因。前列腺静脉和痔静脉丛有吻合，通过直肠上静脉引流到门静脉系，这是前列腺癌可引起肝转移的主要原因。

五、前列腺的淋巴管

前列腺被膜和实质内均存在有毛细淋巴管及淋巴管。前列腺实质内，每个复管泡状腺周围有 1~2 条毛细淋巴管，毛细淋巴管互相汇合，形成毛细淋巴管网，由毛细淋巴管网发出的淋巴管沿着血管走在腺小叶间的结缔组织内，呈放射状走向前列腺包膜，在包膜内吻合成淋巴管丛，并发出集合淋巴管从前列腺前部、后部和外侧部走向周围的淋巴结。

前列腺的淋巴流向有四个途径：①前列腺后部上方发出的集合淋巴管沿精囊的边缘上行，注入髂外淋巴结；②前列腺前部发出的集合淋巴管上行到前列腺上方的后面，沿前列腺动脉行走，注入髂内淋巴结；③前列腺后部发出的集合淋巴管沿直肠膀胱筋膜走行至骶骨，注入骶前淋巴结；④前列腺前侧部发出的淋巴管下行至会阴，沿阴部内动脉走行，注入髂内动脉根部的髂内淋巴结。

髂外淋巴结组和髂内淋巴结组是前列腺的两个主要淋巴流向。髂外组由三个链组成：外侧链，沿髂外动脉外侧分布；中间链，位于髂外动脉的前面；内侧链，沿髂外静脉分布于闭孔神经的上方。闭孔淋巴结被认为是前列腺淋巴引流的第一站，是髂外淋巴结组内侧链的一部分。髂内淋巴结组沿髂内动脉及其分支分布，分为壁组和脏组，前者引流骨盆内肌肉骨骼部分，后者引流盆腔脏器部分。前列腺的淋巴管与膀胱、精囊和直肠的淋巴管有直接交通。

六、前列腺的神经分布

前列腺的神经来自直肠周围的盆腔神经丛，盆腔神经丛由来自胸 11~腰 2 (T11~L2) 节段的交感神经纤维和骶 2~骶 4 (S2~S4) 节段的副交感神经节前纤维组成。支配前列腺的神经位于真、假被膜之间，与血管组成神经血管束，走行于前列腺的后外侧，在

膜部尿道 3 点钟和 9 点钟位置穿过尿生殖膈。沿途神经发出分支在前列腺的腺体和基质内呈网状分布。

副交感神经支配腺泡,促进腺体分泌,交感神经可使包膜和基质内的平滑肌收缩。另外,人类前列腺的腺体和包膜内还有自主神经节细胞存在,它们具有整合和传递作用。

参考文献

- [1] 张武,吕国荣.前列腺影像解剖[J].临床医学影像杂志 1991(2):97 - 101.
- [2] 夏术阶,唐孝达.前列腺导管系统远近端的细胞凋亡、雄激素受体亚型雄雌激素环境研究[J].中华实验外科杂志,2003,20(2):113 - 115.
- [3] McNeal J E. The prostate gland, morphology and pathology[J]. Monogr Urology,1983, 4:3 - 33.
- [4] Lee C, Sensibar J A, Dudek S M, et al. Prostatic ductal system in rats: regional variation in morphological and functional activities[J]. Biol Reprod,1990,43:1079 - 1086.
- [5] Sensibar J A, Griswold M D, Sylvester S R, et al. Prostatic ductal system in rats: regional variation in localization of an androgen expressed gene product, sulfated glycoprotein - 2[J]. Endocrinology,1991,128:2091 - 2102.
- [6] Kyprianau N, Isaacs JT. Expression of transforming growth factors in the rat's ventral prostate during castration-induced programmed cell death[J]. Mol Endocrinology,1989, 3:1515 - 1518.
- [7] Daton D P, Lee C, Hupridar S, et al. Non-androgenic role of testis in enhancing ventral prostate growth in rats[J]. Prostate,1990,16:225 - 233.
- [8] Krieg M, Nass R, Tunn S. Effect of aging on endogenous level of 5a-dihydritestosterone, testosterone, oestradiol and estrogen in epithelium and stroma of normal and hyperplasia human prostate[J]. J Clin Endocrinol Metabo,1993,77:375 - 381.
- [9] Kyprianou N, Tu H, Jacobs S C. Apoptotic versus proliferative activities in human prostate hyperplasia[J]. Hum Pathol,1996,27:668 - 675.
- [10] 高炜.前列腺解剖带区的断层解剖学与 MRI 研究[D].天津:天津医科大学,2010.
- [11] 周良平,王宵英,李飞宇,等.正常中国成年男性前列腺 MRS 的研究:解剖区域和年龄的影响[J].实用放射学杂志,2005,7(21):731 - 735.
- [12] Coakley F V, Hricak H. Radiology anatomy of the prostate gland: a clinical approach [J]. Radiol Clin North Am,2000,38(1):15 - 30.
- [13] McNeal J E. Normal anatomy of the prostate and changes in benign prostatic hypertrophy and carcinoma[J]. Seminars in Ultrasound CT MRI,1986,329 - 334.
- [14] 张小马,梁朝朝.正常前列腺形态组织学及影像学研究[J].中华泌尿外科杂志,2006,27(11):787 - 789.
- [15] 朱晓华,刘树伟.前列腺的应用解剖及影像学研究进展[J].解剖与临床,2003,8 (4):244 - 247.
- [16] Holger J, Lutz V. Teaching and learning gross anatomy using modern electronic media

based on the visible human project[J]. Clinical Anmomy,2003,16:44 - 54.

- [17] 周庭永,韩景荣,余勇,等. 前列腺和精囊腺的断层解剖学研究[J]. 重庆医科大学学报,1993,18(2):118 - 121.
- [18] 高全胜,谭立文,应大君. 大体标本冰冻薄层断面切片机的研制[J]. 第三军医大学学报,2001,11(23):140 - 141.
- [19] 李云生,田德润,于春水,等. 火棉胶包埋法在制作断层解剖学标本上的应用[J]. 中国临床解剖学杂志,2000,18(1):91.
- [20] 陈伟,张绍祥,丁仕义,等. 肾上腺形态及其毗邻关系的薄层断层与 CT 断层解剖学研究[J]. 第三军医大学学报,2003,25(7):608 - 610.
- [21] 张绍祥. 努力开拓断层影像解剖学研究的新局面[J]. 中国临床解剖学杂志,1999,17(4):289.
- [22] 王鹤鸣. 前列腺和尿道前列腺部的断层解剖学观察[J]. 南京医学院学报,1989,9(1):50 - 53.
- [23] 张绍祥,刘正津,谭立文,等. 首例中国数字化可视人体完成[J]. 第三军医大学学报,2002,24(10):1231 - 1232.
- [24] 周振环,陈思平,陶笃纯,等. 医学图像标志点的自动配准[J]. 中国生物医学工程学报,2003,22(5):438 - 442.
- [25] 郭燕丽,张绍祥,刘正津,等. 首例中国可视化人体心脏薄层断面解剖学研究[J]. 第三军医大学学报,2003,25(7):566 - 568.
- [26] 范艳,张绍祥,李七渝,等. 眼外肌薄层断面与 MRI 对照研究[J]. 局解手术学杂志,2004,13(5):295 - 297.
- [27] 胡勤勇,毛国庆,王观法,等. 前列腺及其病变的 MRI 检查[J]. 国外医学·泌尿系统分册,1995,15(4):156 - 159.
- [28] Chodak G W, Keller P, Schoenberg H W. Assesment of screening for prostaticcancer using the digital rectal examination[J]. Urology,1989,141:1136.
- [29] 王霄英,蒋学祥,肖江喜,等. 前列腺癌的 MR 诊断及影响因素[J]. 实用放射学杂志,2000,16(7):391 - 395.
- [30] 王霄英,蒋学祥,肖江喜,等. MRI 诊断前列腺癌侵犯神经血管束的价值[J]. 中华放射学杂志,2000,34(12):844 - 846.
- [31] Algaba F, Trias I, Lopez L, et al. Neuroendocrine cells in peripheral prostatic zone:age, prostatic intraepithelialneoplasia and latent cancer-related changes[J]. Eur Urol,1995,27(4):329 - 333.
- [32] 王光彬,赵斌,柳澄,等. 前列腺解剖带区的尸体和 MRI 研究及应用[J]. 医学影像学杂志,1999,9(3):143 - 146.
- [33] McNeal J E. The zonal anatomy of the prostate[J]. Prostate,1981,2(1):35 - 49.
- [34] Greene D R, Egawa S, Hellerstein, et al. Sonographic measurements of transition zone of prostate in men with and Without benign prostatic hyperplasia[J]. Urology,1990,51:293 - 299.

(刘向云 邵悦)